亀裂性岩盤を対象とした水圧破砕法における 破砕流体の及ぼす影響

長曽 真弥1*・三ケ田 均1・武川 順一1・後藤 忠徳1

¹京都大学大学院 工学研究科社会基盤専攻 資源工学講座応用地球物理学分野 (〒615-8246 京都府京都市西京区京都大学桂C1-1-119) *E-mail: masaya-nagaso@tansa.kumst.kyoto-u.ac.jp

水圧破砕による亀裂は対象岩盤に作用する応力状態だけでなく, 既存亀裂の影響や破砕流体の粘性も 亀裂進展に大きく影響することが分かっており, この影響を明らかにすることは水圧破砕における亀裂 進展予測の正確さを向上させると考えられる. 本研究では二次元個別要素法を用いて数値シミュレーションを行い, 既存亀裂の走向と破砕流体の粘性が亀裂の進展に与える影響を調べた. シミュレーション の結果から水圧破砕による亀裂は既存亀裂に交差する角度が小さいほど大きな影響を受けることが分かった. また, 流体が低粘性のときは破砕による亀裂が既存亀裂に捉われてそれ以上進展しないようなケースでも, 高粘性流体を用いることで捉われずに進展させることができることが示された.

Key Words: hydraulic fracturing, natural fracture, viscosity, distinct element method

1. 緒言

水圧破砕法は非在来型資源であるシェールオイルの開 発や高温岩体発電において、対象地盤内の流体の流動 性を向上させるために用いられる. どちらの適用例に おいても水圧破砕による亀裂の進展を正確に予測するこ とで、 開発の効率を大きく向上させることができる. 水圧破砕によって生じる亀裂は理論解により坑井から最 大主応力方向に進展するり. しかし、 山形県の雄勝で行 われた高温岩体発電のフィールド実験では、水圧破砕 亀裂はもともと岩盤内に存在する既存亀裂の影響を大き く受け、
亀裂が必ずしも最大主応力方向に進展しなか ったことが報告されている². このような既存亀裂が水 圧破砕亀裂の進展に与える影響は、実験的、理論的、 数値的なアプローチにより数多く研究されている3,4,5,6. Zhou et al.3による室内実験では、既存亀裂の走向、透水 性の違いによる水圧破砕亀裂の進展挙動の変化を調べた. さらにこの実験結果を用い、Renshawetal.4は、水圧破砕 による亀裂が既存亀裂を貫通するかしないかについて、 理論的な規準を発展させた新たな規準を示し、その有 効性を検証した. Zhao et al.⁵はZhou et al.³の室内実験に対 し、数値シミュレーションを行い、数値シミュレーシ ョンの有効性を示すとともに、既存亀裂が水圧破砕亀 裂に与える影響のメカニズムを調べた. 一方、水圧破

砕時に圧入する流体の粘性も亀裂進展に影響を与える要 因の一つである. 雄勝高温岩体発電実験では生産井か ら高粘性流体を用いて迎え破砕を行い、熱水の還元率 を向上させている. これは、水圧破砕に高粘性流体を 用いることで亀裂の開口幅が大きくなり、生産井付近 の地盤の流体流動性が高まったためであると結論付けら れた⁶. Shimizu et al.⁷は水圧破砕法において岩の不均質性 と破砕流体の粘性が亀裂進展に与える影響を数値シミュ レーションで調べた. 高粘性流体を用いた場合、低粘 性流体を用いた場合よりも多くのせん断破壊によるAE が確認され、破砕流体の粘性が水圧破砕による亀裂発 生のメカニズムに影響を与えていることが考えられる. 既存亀裂の存在と破砕流体の粘性は水圧破砕により発生 する亀裂の進展に影響を与えるため、その影響を個々 に調べた研究は多い. しかし, 既存亀裂と破砕流体の 粘性の両方を考慮に入れ、 亀裂進展の影響について考 察した研究はない. この既存亀裂と破砕流体の粘性が 岩盤における開発で、破砕に用いる流体の粘性を適切 に選ぶことができるという点で、開発の効率向上に貢 献すると考えられる. 本研究では、二次元個別要素法 おける水圧破砕に破砕流体の粘性が与える影響を調べた. シミュレーションでは高粘性流体と低粘性流体を用いて

水圧破砕を行い, 亀裂をある走向を持った既存亀裂と 交差させ, 微小亀裂の発生点を調べることで, その影響を調べた.

2. 手法

(1) 個別要素法

水圧破砕法の数値シミュレーションには二次元個別要素法を用いた. 本原稿では短い説明にとどめることとし、詳細は参考文献を参照されたい。

粒子に作用する力は粒子同士の重複から生じる接触力と粒子同士を結ぶ物質(以下bondと呼称する)から生じる力から成る.二つの粒子が重複すると,重複の中心に接触点が設定され,法線方向の力 f_n ,接線方向の力 f_s ,モーメントMが接触点に作用する.これらの力の増分は以下のように書ける.

$$f_n = k_n (dn_j - dn_i) \tag{1}$$

$$f_s = k_s [ds_i - ds_i - (r_i d\theta_i - r_i d\theta_i)]$$
 (2)

$$M = r_i f_s \tag{3}$$

ここで、 k_n と k_s は法線方向と接線方向のばねの剛性度、dn、ds、 $d\theta$ は法線方向、接線方向、回転方向の変位増分、rは粒子の半径であり、i、jは粒子番号である。粒子同士の重複による力は粒子が重複しているときのみ生じており、粒子が離れている場合は生じない。また、bondによって生じる法線方向の力 f_n 、接線方向の力 f_s 、モーメントMは以下のように書ける。

$$\overline{f_n} = \overline{k_n} \big(dn_j - dn_i \big) \tag{4}$$

$$\overline{f_s} = \overline{k_s} [ds_i - ds_i - (r_i d\theta_i - r_i d\theta_i)]$$
 (5)

$$\overline{M} = \overline{k_{\theta}} (d\theta_i - d\theta_i) \tag{6}$$

ここで、 $\overline{k_n}$, $\overline{k_s}$, $\overline{k_\theta}$ は法線方向、接線方向、回転方向のばねの剛性度である。これらの剛性度は梁理論から以下のように書ける。

$$\overline{k_n} = \frac{ED}{L} \tag{7}$$

$$\overline{k_s} = \alpha \overline{k_n} \tag{8}$$

$$\overline{k_{\theta}} = \frac{EI}{I} \tag{9}$$

ここで、L, D, E, α , Iはbondの長さ、幅、ヤング率、剛性率、断面二次モーメントである。bondによる力は接触力と異なり、粒子が離れているときには引力として作用し、粒子を結び付ける働きをもつ。bondには垂直応力とせん断応力が作用しており、以下のように表すことができる 9 .

$$\sigma = \frac{\overline{f_n}}{D} \tag{10}$$

$$\tau = \frac{\frac{D}{f_s}}{D} \tag{11}$$

bondは垂直応力かせん断応力が一定値を越えたとき破壊する. すなわち、垂直応力 σ がbondの引張強さ σ_c を超えたとき、あるいはせん断応力 τ の絶対値がbondのせん断強さ τ_c を超えたとき、bondが破壊するとした. bondの破壊規準は以下の式で表すことができる.

$$\sigma \le -\sigma_c \tag{12}$$

$$|\tau| \ge \tau_c \tag{13}$$

bondが破壊すると、bondによる力は作用しなくなり、 bondによって結び付けられていた2粒子間に微小亀裂が 生じる.

粒子の微小振動を抑えるため、粒子間にダンプを設置した. ダンプにより粒子に作用する力は2粒子の相対速度に比例し、以下のように書ける.

$$f_{nd} = C_n (dn_j - dn_i)/dt (14)$$

$$f_{sd} = C_s \left[ds_j - ds_i - \frac{L}{2} (d\theta_i - d\theta_j) \right] / dt$$
 (15)

ここで、 C_n 、 C_s は法線方向と接線方向の粘性係数であり、dtは1ステップの時間である。また、 C_n 、 C_s は粒子が減衰振動するように設定され、以下のように表すことができる。

$$C_n = 2\sqrt{m_{ij}k_n} \tag{16}$$

$$C_s = C_n \sqrt{k_s/k_n} \tag{17}$$

 m_{ii} は2粒子の質量から以下のように書ける.

$$m_{ij} = \frac{2m_i m_j}{m_i + m_i} \tag{18}$$

(2) 流体アルゴリズム

水圧破砕による岩盤内の流体の流れを表現するために流体アルゴリズムを個別要素法に組み込んだ¹⁰. 流体アルゴリズムでは孔隙を粒子の中心を結んでできる閉じた領域の中心に設定し、孔隙を流路で結ぶことで流体ネットワークを構築する. 各孔隙には流体が蓄積され、圧力が生じており、この圧力を時間ステップごとに更新していくことで流体の流れを表現する. 流路を流れる流体の流れは二次元シミュレーションであることから、平板流を仮定している. したがって、流路を流れる流体の流量Qはハーゲン・ポアズイユ方程式から以下のように書くことができる.

$$Q = \frac{w^3}{12\mu} \frac{\Delta P}{L_p} \tag{19}$$

ここでwは流路幅、 L_p は流路長さ、 μ は流体の粘性度、 ΔP は流路が結ぶ2孔隙の圧力差である。wは粒子間距離で表すため、粒子が接触している場合、Q=0となり流体が流れない。本モデルでは流体のネットワークを構築するために粒子の大半を接触させているため、モデル内の流体の浸透を表現することができない。したがって、粒子が接触しているとき、wを以下のように定義することで流体の浸透を表現できるようにしている。

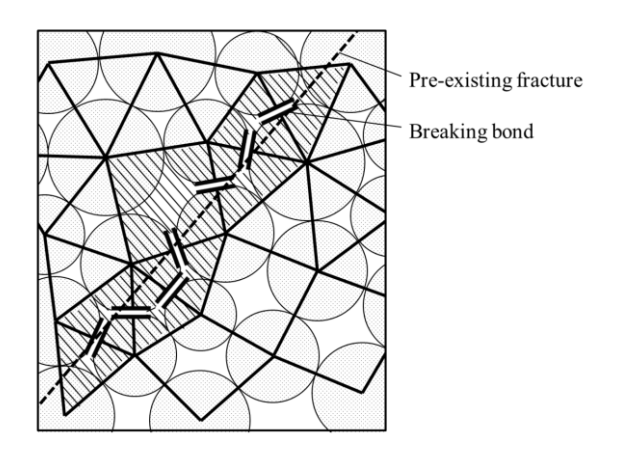


図-1 既存亀裂の導入

$$w = \frac{w_0 F_0}{F + F_0} \tag{20}$$

ここで、 w_0 は初期流路幅、Fは接触点に作用している 圧縮力、 F_0 はwが初期流路幅の半分の値のときに作用 する圧縮力である。 孔隙内の圧力の増分は近隣の孔隙 から流れ込む流体の体積と孔隙の体積変化から以下のよ うに書くことができる.

$$\Delta P = \frac{K_f}{V_r} \left(\sum_{r} Q dt - dV_r \right) \tag{21}$$

ここで K_f は流体の体積弾性率、 V_r は孔隙の体積、 $\sum Q$ は流れ込んでくる流体の流量の総和である。粒子は流体からも力を受けており、孔隙内流体の圧力による力と流路に流体が流れることにより生じるせん断力である。粒子表面に作用している流体圧力によって生じる力 f_n は

$$f_p = \int_{-\beta}^{\beta} P\cos\theta \, rd\theta \tag{22}$$

ここで β は領域の頂点の内,粒子の中心を頂点とする角の半分の値である. 流路壁に生じる流体のせん断力による力 f_t はハーゲン・ポアズイユ方程式を平板流に適用することにより以下のように表すことができる.

$$f_c = \frac{w}{2} \Delta P \tag{23}$$

この流体アルゴリズムでは孔隙には常に圧力が生じている状態である。 すなわち、モデルは常に飽和していることになり、不飽和な部分への流体の浸透が表現できない。 したがって、各孔隙に以下で示すことができる飽和度を導入した⁷.

$$S_t = \frac{V_f}{V_d \, \varphi} \tag{24}$$

ここで、 V_f は孔隙内の流体の体積、 V_a は孔隙を含む領域の体積、 φ は孔隙率である。 $S_t > 1$ となってはじめて孔隙内に圧力が生じ、 $S_t < 1$ では孔隙内の圧力は大気圧と等しくなる(本研究では0MPa).

(3) 既存亀裂の導入

個別要素法への不連続面の導入には、不連続面を強 度の低い粒子の集合体とみなす方法が取られてきた11). この方法では個別要素の粒径を既存亀裂の幅よりも小さ くしなければならないため、数値計算の安定性を保つ ために1ステップの時間間隔dtを小さく取らなけらばな らず、計算時間が長くなりすぎてしまう、したがって、 本研究では既存亀裂を図-1で示されるような直線で表現 した. 既存亀裂は背景の岩質と比べ、強度が低く、浸 透率が高いという性質を持つ. この性質を表現するた め、直線と2粒子の中心を結ぶ線分が交差した場合、そ の2粒子を結ぶbondの引張強さとせん断強さを小さくし、 初期流路幅を大きくした. また, 直線に交差するbond の物性を変化させるだけでは亀裂表面が過度に粗くなり、 **亀裂面の摩擦が大きくなりすぎてしまう**. **亀裂面の摩** 擦を小さくするため、 既存亀裂にsmooth-jointモデルを適 用した¹²⁾. smooth-jointモデルは既存亀裂を仮定した直線 で隔てられて接触している粒子接触点に適用され、こ れらの粒子は既存亀裂の走向方向には重複を許され、 自由に動くことができる. すなわち、粒子は既存亀裂 の走向方向に動くとき、 接触粒子を回り込むように動 くのではなく、 接触粒子をすり抜け、 直線的に動くこ とができる. したがって、smooth-jointモデルが適用され た既存亀裂は摩擦が過度に大きくなることなく、せん 断滑りを起こすことができるようになる.

3. シミュレーションモデル

水圧破砕法において生じる亀裂が既存亀裂と交わると きに、破砕流体の粘性がどのように影響するかを調べ るため、**図-2**に示すようなモデルを用意した. モデル は坑井付近を水平面で切った断面であり、これに二次 元個別要素法シミュレーションを適用した. モデルは 縦500mm、横500mmであり、中心に直径50mmの坑井を 配置した. モデルの物性を示すパラメータである E, α , σ_c , τ_c , w_0 はキャリブレーションにより求 めた. キャリブレーションでは予め一軸圧縮試験、圧 裂試験、 透水試験のシミュレーションを行うことで、 花崗岩の物性を示すようにこれらのパラメータを設定し たり. 均質媒体においては水圧破砕により生じる亀裂は 坑井から最大主応力方向に進展するという特徴から¹⁾ 水圧破砕亀裂がx軸方向に伸びるよう、 x軸方向に 10MPa、y軸方向に5MPaの応力を作用させた. そのた め、左壁と下壁は固定されているが、右壁と上壁は動 けるようになっている. 既存亀裂は坑井から右方向に 距離75mm離れたところに長さ125mmで横軸と角度 θ を

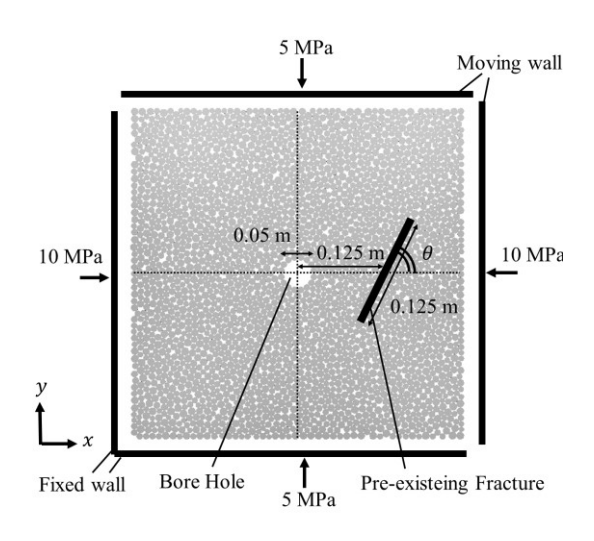


図-2 シミュレーションモデル

とるように配置した. 既存亀裂における接触点のbond の強さを半分に、初期流路幅を3倍にすることで既存亀裂を表現した. 水圧破砕はモデル中心の坑井に一定の流量Qで流体を注入することで行った. 本研究では横軸と既存亀裂の走向がなす角 θ が θ = 30°、45°、90°の場合において、高粘性流体(μ = 100 Pa sec)と低粘性流体(μ = 1 mPa sec)を用いた計6モデルで水圧破砕シミュレーションを行い、水圧破砕亀裂と既存亀裂の相互作用に破砕流体が与える影響について調べた. それぞれのシミュレーションパターンを亀裂の走向-流体の粘性となるように、30-Low、45-Low、90-Low、30-High、45-High、90-Highと呼ぶ.

4. シミュレーション結果

数値シミュレーションの結果を図-3に示す. 図-3において青い領域は圧入流体で飽和した領域であり,水色の領域は飽和度が0.5以上の不飽和領域である. また,赤,黄,黒の線は微小亀裂を示しており,それぞれ幅が0.05mm以上の微小亀裂,幅が0.01mm以上0.05mm以下の微小亀裂,圧縮力が作用している微小亀裂である.すべてのシミュレーションにおいて流体の注入から10秒まで計算したが,30-Lowは途中で計算が不安定になったため8秒までの結果を示している.低粘性流体を用いた水圧破砕では高粘性流体を用いた水圧破砕と比べると坑井や水圧破砕亀裂間りへの浸透がみられ,微小亀裂の数は少なかった.30-Lowでは水圧破砕亀裂は既存亀裂を開きながら進展し,既存亀裂との交差点から少しずれた位置から再び進展を始めた.45-Lowでは水圧破砕亀裂は既存亀裂を開きながら進展したが,既存亀裂

を越えて流体が進むことはなかった. 既存亀裂を越えた位置に微小亀裂がみられるが, いずれも水圧破砕亀裂との連続性はみられない. 90-Lowでは水圧破砕亀裂は既存亀裂を開くことはなく, 越えて進むこともなかった. 45-Lowの結果と比べると既存亀裂を越えた位置に生じた微小亀裂は少ない. 高粘性流体を用いた水圧破砕では水圧破砕亀裂以外への浸透はほとんどみられず, 多数の微小亀裂が発生した. 30-Highでは水圧破砕亀裂は既存亀裂を開き, 既存亀裂の端点から再び進展している. 45-Highでは水圧破砕亀裂は既存亀裂の一部を開き, 既存亀裂との交差点から少しずれた位置から再び進展している. 90-Highでは既存亀裂を開くことなく直行している.

5. 考察

本節では既存亀裂が水圧破砕亀裂の進展方向に与える 影響について考察する. 90-Highでは水圧破砕亀裂が既 存亀裂を開かず直進していることから、既存亀裂から の影響は極めて小さいといえる. また, 30-Highでは水 圧破砕亀裂は既存亀裂を開きながら進展し、既存亀裂 端点から再び進展を開始しているという結果と、45-Highの水圧破砕亀裂が既存亀裂を開きながら進展しなが らも端点まで達さずに途中で主応力方向を向いていると いう結果から、既存亀裂との交差角が小さくなるほど 水圧破砕亀裂は既存亀裂からの影響を受けるということ がいえる. 既存亀裂と最大主応力方向がなす角が小さ いときほど既存亀裂に作用する圧縮応力が小さく13, 既 存亀裂が開口しやすい. したがって、交差角が小さな ときは水圧破砕亀裂は既存亀裂を開きながら進展し, 進展方向が既存亀裂に影響を受けたと考えられる. ま た、低粘性流体を用いた水圧破砕においても30-Low、 45-Lowで既存亀裂の開口がみられ、 既存亀裂の影響を 受けている.

(2) 破砕流体の粘性

低粘性流体の水圧破砕においては流体が水圧破砕亀裂から岩質に浸み込み, 亀裂内部や坑井内部に水圧が蓄積されにくいと考えられる. そのため, 岩体に大きな応力がかかることなく亀裂の進展は静かに生じる. また, 低粘性流体を用いた水圧破砕の場合, 生じる亀裂幅は小さい. したがって, 流体は水圧破砕によって生じた亀裂よりも既存亀裂の方に優先的に流れ込む. これらの要因によって亀裂内に圧力が蓄積されにくく, 既存亀裂を越えた位置に新しい亀裂を生じさせることができなかったため, 低粘性流体を用いた水圧破砕では

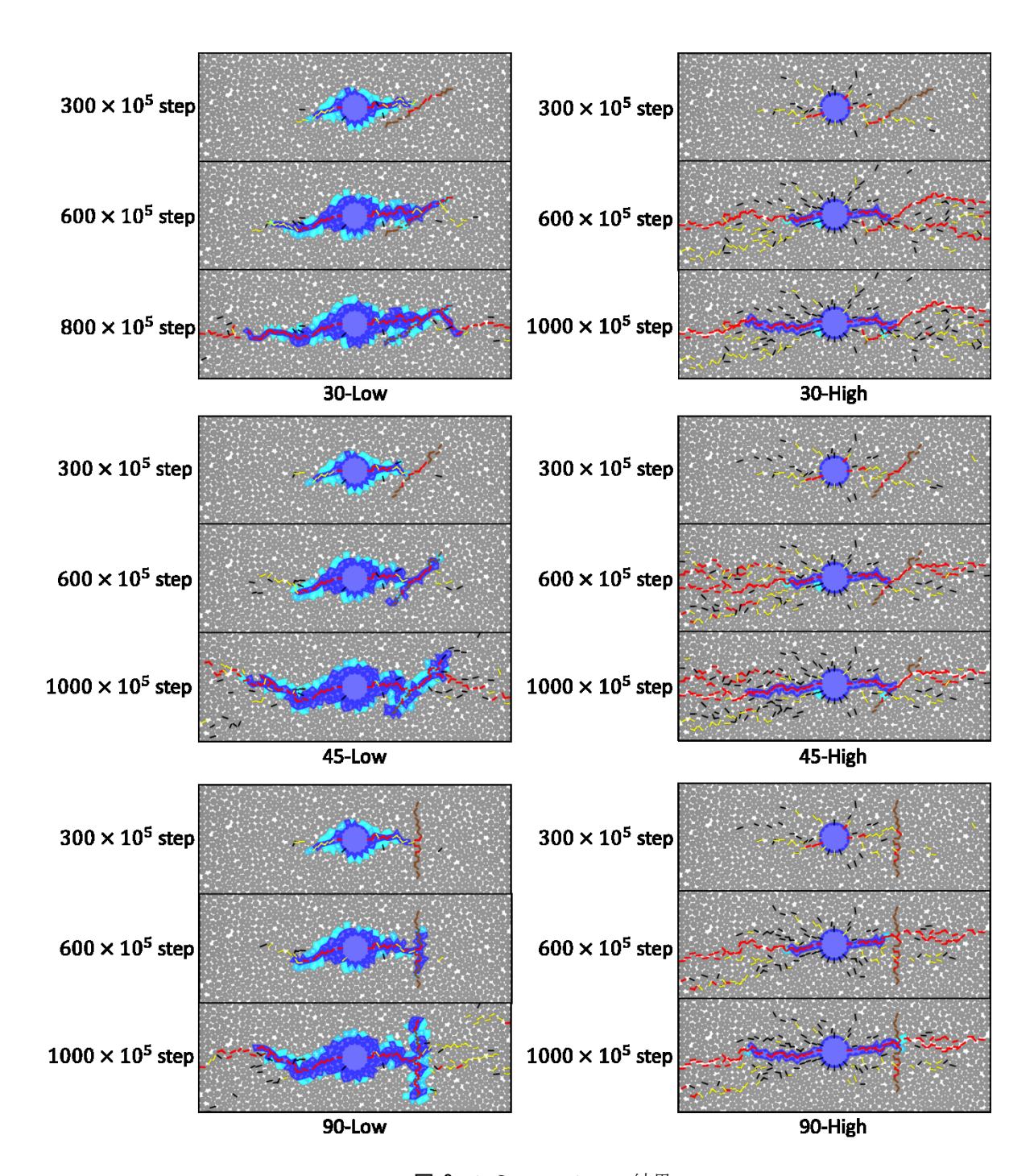


図-3 シミュレーション結果

既存亀裂が流体で満たされるまで、水圧破砕亀裂が既存亀裂を越えて進展することがなかったと考えられる。一方、高粘性流体を用いた水圧破砕では、流体が小さな隙間に侵入することができず、孔隙や坑井内に圧力が蓄積されやすい。したがって、岩体に大きな応力が作用する。また、高粘性流体を用いた水圧破砕では亀裂の幅が大きくなる。これにより、水圧破砕によって生じた亀裂の幅が既存亀裂の幅よりも大きくなることで、流体が既存亀裂に流れだしにくく、亀裂が既存亀裂を越えて進展しやすくなったと考えられる。

6. 結論

水圧破砕法における亀裂の進展に、既存亀裂の走向と破砕流体の粘性が与える影響について調べるために、個別要素法を用いた数値シミュレーションを行った。 その結果、粘性に関わらず既存亀裂と水圧破砕亀裂の交差角が小さいとき、既存亀裂からの影響を受け、進展方向が最大主応力方向からずれてしまうことがわかっ た. また, 低粘性流体を用いた水圧破砕では既存亀裂 で進展が止まる場合がある. こうした亀裂でも, 高粘 性流体を用いることで破砕を進展させることができる場 合があることが示された. 水圧破砕法を用いる場合, 既存亀裂の走向や破砕流体の粘性が破砕の進展に影響す ることが明らかとなった.

参考文献

- Hubbert, M.K., and Willis, D.G.: Mechanics of Hydraulic Fracturing, *Transactions of Society of Petraleum Engineers of* AIME, Vol. 210, pp. 153-168, 1957
- 2) 近藤浩文:高温岩体発電のための水圧破砕面の予測手法の開発一既存割れ目の性状について一,電力中央研究所報告・研究報告: U93039.1994
- Zhou, J., Chen, M., Jin, Y. and Zhang, G.: Analysis of fracture propagation behavior and fracture geometry using a tri-axial fracturing system in naturally fractured reservoirs: *International Journal of Rock Mechanics and Mining Sciences & Geomechanics Abstracts*, 45, no. 7, 1143-1152, 2008
- Renshaw, M.M., Aghigi, A., Shik, A.R., Syed, A.H., : Effect of Natural Fracture on Hydraulic Fracture Propagation in Naturally Fractured Poroelastic Reservoir, SPE 121903, EUROPEC/EAGE Conference and Exhibition, 2010
- Zhao, X., and Young, R.P.: Numerical modeling of seismicity induced by fluid injection in naturally fractured reservoirs: GEOPHYSICS. VOL. 76, NO. 6; P. WC167–WC180, 18 FIGS., 3 TABLES, 2011
- 6) 海江田秀志, 佐々木俊二, 本島勲, 澤田義博, 日比野敏, 堀義直: 高温岩体発電のための岩盤破砕技術(その1)ケーシング リーマー・サンドプラグ方式水圧破砕法の開発, 電力中央研 究所・研究報告:U88026, 1988
- 7) Shimizu, H., Murata, S., and Ishida, T.: The distinct element analysis for hydraulic fracturing in hard rock considering fluid

- viscosity and particle size distribution, *International Journal of Rock Mechanics & Mining Sciences*, 48, 712-727, 2011
- Potyondy, D.O., and Cundall, P.A.: A bonded-particle model for rock, *International Journal of Rock Mechanics & Mining Sciences* 41 1329-1364, 2004
- 9) Potyondy, D.O.: Parallel-bond refinements to match macroproperties of hard rock, *Proceedings of the second international FLAC/DEM symposium*, pp. 459 465, 2011
- Thallak, S., Rothenburg, L., and Dusseault, M.: Simulation of multiple hydraulic fractures in a discrete element system, *Proceedings of the 32nd US rock mechanics symposium*, pp.271-280, 1991
- Kulatilake, P.H.S.W., Malama, B., and Wang, J.: Physical and particle flow modeling of jointed rock block behavior under uniaxialloading, Int F Rock Mech Min Sci, pp. 641-657, 2001
- 12) Ivars, M.D., Potyondy, D.O., Pierce, M., and Cundall, P.A.: The smooth-joint contact model, Proceedings of the 8th world congress on computational mechanics, 5th European congress on computational mechanics and applied science and engineering, Venice, 2008
- 13) Jaeger, J.C., Cook, N.G.W., and Zimmerman, R.W.: Fundamentals of rock mechanics, *Oxford, Blackwall*, 2007

INFLUENCE OF PRE-EXISTING FRACTURE AND FLUID VISCOSITY ON HYDRAULIC FRACTURING

Masaya NAGASO, Hitoshi MIKADA, Junichi TAKEKAWA, and Tada-nori GOTO

For the estimation of the propagation of hydraulic fracture, fluid viscosity and pre-existing fracture should be taken into consideration. In order to investigate the influence of them on the behavior of hydraulic fracture, we perform a serie of numerical simulations using 2D DEM code. In our study, low and high viscous fluids are used as fracturing medium with a single pre-existing fracture placed with three different strike angles. The results show that the propagation of hydrulic fracuter is strongly influenced by pre-existing fracture in the case of low strike angle. The results also show that high viscous fluid could extend the fracturing beyond the pre-existing fracture antithetically to low viscous fluid.